

TE 모드의 위상변화만을 일으키는 $P\text{-}I\text{-}i\text{-}I\text{-}N$ GaAs/Al_{0.35}Ga_{0.65}As 도파로 위상변조기의 제작 및 변조 특성

김선필[†] · 이상신

한양대학교 전자통신전파공학부 광전자연구실

(⑨ 133-791 서울특별시 성동구 행당동 17번지)

이석 · 우덕하 · 김선호

한국과학기술연구원 광기술연구센터

(⑨ 130-650 서울특별시 청량우체국사서함 131호)

(2002년 12월 23일 받음, 2003년 3월 11일 수정본 받음)

TM 모드에는 영향을 끼치지 않으면서 TE 모드의 위상만을 변조시키는 $P\text{-}I\text{-}i\text{-}I\text{-}N$ GaAs/Al_{0.35}Ga_{0.65}As 도파로 위상변조기를 제작하였다. TE 모드에 대해서만 위상변조를 일으키기 위해 $P\text{-}I\text{-}i\text{-}I\text{-}N$ 구조를 선택하였다. Fabry-Perot 공명 방법을 이용해서 TE-와 TM 모드에 대해 $\lambda = 1.55 \mu\text{m}$ 파장에서 각각 측정하였다. TE-편광된 빛에 대한 위상변조 효율은 $\Delta\phi = 7.9^\circ/\text{V} \cdot \text{mm}$ 였다. 이것은 비슷한 구조를 갖는 위상변조기의 변조 효율 보다 거의 2.5배정도 향상된 결과이다. 또한, TM-편광된 빛에 대해서는 위상변조가 관측되지 않았다.

주제어 : phase modulator, phase shift efficiency.

I. 서론 및 이론적 배경

반도체 소자에 있어서 굴절율의 변화는 중요한 역할을 한다. 굴절율을 변화시키는 다양한 요소들은, 전계에 의한 1차 전기광학(linear electro-optic: LEO) 효과와 2차 전기광학(quadratic electro-optic: QEO) 효과, 자유 운반자에 의한 밴드천이(band-gap shift: BS) 효과와 플라즈마(plasma: PL) 효과 등으로 잘 알려져 있다.^[1,6] 최근에, 앞서 언급된 다양한 굴절율 변화들을 이용한 멀티 기가 헤르츠 동작과 낮은 인가 전압에서 매우 높은 위상변조 효율을 갖는 반도체 도파로 위상변조기들이 보고되어졌다.^[2,3,6,7] 본 논문에서는, 오로지 TE 모드에 대해서만 선택적으로 위상변화를 주는 $P\text{-}I\text{-}i\text{-}I\text{-}N$ GaAs/Al_{0.35}Ga_{0.65}As 도파로 위상변조기를 보고한다. TE 모드에 대해서만 위상변조를 일으키기 위해 $P\text{-}I\text{-}i\text{-}I\text{-}N$ 구조로 설계 및 제작하였다.^[9] TE-선택적인 위상변화는 편광에 의존적인 LEO 효과를 이용함으로써 얻어질 수 있다. 동작 파장이 $1.55 \mu\text{m}$ 로 GaAs 밴드갭 파장과는 멀리 떨어져 있고, 가해진 전계 영역에서 광모드의 분포를 억제함으로써 다른 편광-독립적인 효과들을 무시할 수 있다. 본 연구는 집적화된 광 TE-TM 모드 분리기들 편광상태에 민감한 광 시스템에서 매우 중요한 역할을 하는 소자들의 개선을 위한 데서 그 동기가 되었다. 비대칭 Y-branch, 방향성 결합기, TE와 TM 모드에 대해 서로 다른 결합길이를 갖는 double-mode waveguide 등을 이용한 다양한 guided-wave TE-TM 모드 분리기들이 보고되어졌다.^[4,5] 그러나,

Mach-Zehnder interferometer (MZI)를 이용한 III-V족 반도체에서는 아직까지 성공적으로 개발되지 않았다. 그 이유는 효율적인 TE- 또는 TM-선택적인 위상변조를 시키지 못하기 때문으로 생각된다. 따라서, 본 논문에서 보고한 TE-선택적인 $P\text{-}I\text{-}i\text{-}I\text{-}N$ GaAs/Al_{0.35}Ga_{0.65}As 도파로 위상변조기를 효율적으로 이용할 수 있는 다중모드 간섭기(MMI)를 이용한 새로운 MZI TE-TM 모드 분리기를 그림 1에서 제안하고, 곧 제작할 계획이다. 본 논문에서 제작된 위상변조기의 TE-선택적인 위상변조에 대한 이론적인 내용을 살펴보면, 그림 2에서 보여지듯이 [001] 방향으로 전계를 인가했을 때, 굴절율 변화는 [110]와 [110] 방향으로 생긴다.^[6] 이 방향은 z와 x 방향과 각각 일치한다. 따라서, 위상변조기에서 TE 모드는 굴절율 변화를 겪게 된다. 그러나 TM 모드는 전계가 [001] 방향으로 편광되어 있기 때문에 굴절율 변화를 겪지 못한다. TE-와 TM 모드의 LEO에 의해 나타난 위상변화량은 다음과 같다.

$$\Delta\phi_{TE} = \frac{\pi n^3 \Gamma \gamma_{41} E}{\lambda}, \quad \Delta\phi_{TM} = 0$$

여기서 γ_{41} 은 선형광전계수이고, E 는 인가된 전계이며, Γ 는 인가된 전계와 광 전계 사이의 중첩적분을 나타낸다.

II. 실험

2.1. 위상변조기의 제작

위상변조기는 전극 부분을 도핑된 반도체 에피박막으로 한 $p\text{-}i\text{-}n$ 구조를 이용한다. 도핑된 반도체 전극들에 의한 광 흡수

[†]E-mail: toughksp@kist.re.kr

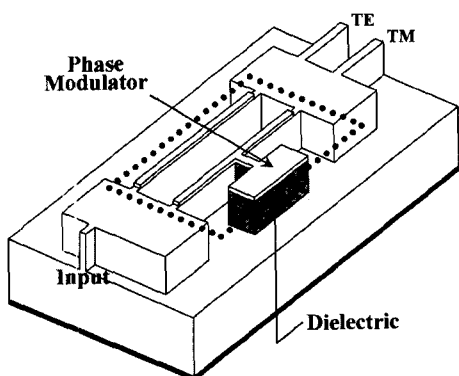


그림 1. 다중모드 간섭기와 위상변조기를 이용한 새로운 MZI TE-TM 모드 분리기.

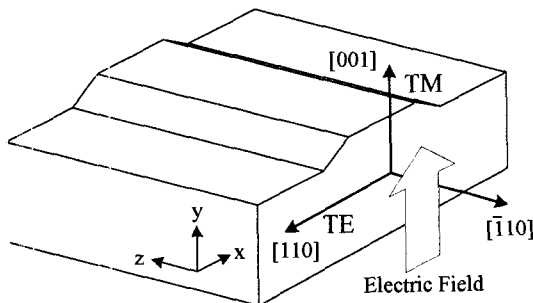


그림 2. [001] 방향으로 전압이 가해졌을 경우의 선형광전효과에 의한 복굴절 효과.

손실을 줄이기 위해 이종접합 구조를 도입하였다.^[7,8] 그림 3은 P-I-I-N GaAs/Al_{0.35}Ga_{0.65}As 도파로 위상변조기의 에피박막의 특징들과 2차원 단면구조 및 굴절을 분포를 나타내고 있다. 최종의 단일모드 도파로 조건을 찾기 위해서 3-D BPM_CAD 를 이용하여 모의 전산 했으며, 그 결과 1.55 μm 파장에서 도파로의 폭은 4 μm였고, 깊이는 1 μm였다. 단일모드 도파로 위상변조기를 제작하기 위한 에피박막 구조는 (100) 방향의 n⁺-GaAs 기판 위에 MOCVD(metal organic chemical vapor deposition) 기법으로 성장되었다. 에피박막 층들은 0.1 μm n⁺-GaAs

GaAs 왼쪽 층, 2 μm n⁺-Al_{0.35}Ga_{0.65}As 아래쪽 클래딩 층, 0.4 μm i-Al_{0.35}Ga_{0.65}As 아래쪽 광 구속 층, 0.4 μm i-GaAs 도파로 층, 0.4 μm i-Al_{0.35}Ga_{0.65}As 위쪽 광 구속 층, 0.6 μm p⁺-Al_{0.35}Ga_{0.65}As 위쪽 클래딩 층, 그리고 0.2 μm p⁺-GaAs 전극 층(cab layer)을 연속적으로 성장시켜서 이종접합 구조로 만들어졌다. 에피박막 구조의 도핑 농도는 n⁺-GaAs 왼쪽 층이 1 × 10¹⁸ cm⁻³, n⁺-Al_{0.35}Ga_{0.65}As와 p⁺-Al_{0.35}Ga_{0.65}As 클래딩 층들이 5 × 10¹⁷ cm⁻³이고, 도파로 층과 광 구속 층들은 undoped 층, 또 p⁺-GaAs 전극 층의 도핑 농도는 1 × 10¹⁹ cm⁻³이었다. Si과 C 도핀트들이 n-과 p-type GaAs와 Al_{0.35}Ga_{0.65}As에 각각 사용되었으며, 모든 도핑은 에피박막을 성장할 때 만들어졌다. 이 구조에서는, GaAs 도파로 층과 Al_{0.35}Ga_{0.65}As 광 구속 층 사이의 굴절을 차가 크기 때문에 광 구속 층은 모드를 도파로 층에 강하게 구속한다. 그 결과 기판으로 누출되는 모드 필드가 작아서 흡수 손실이 작아진다. 얇은 도파로 층은 LEO effect에 의한 위상변조 효율을 최대로 하기 위한 두께로 최적화했다. 또한 n⁺-Al_{0.35}Ga_{0.65}As 아래쪽 클래딩 층은 n⁺-GaAs 기판으로 광 누출을 막기 위해 두껍게 했다. 4 μm 폭과 1 μm 깊이의 도파로는 포토리소그라피와 습식식각 방법을 이용하여 평판 도파로 웨이퍼 위에 방향으로 제작되었다. 여기서 폭과 깊이는 1.55 μm 파장에서 단일모드 조건을 만족한다. 식각 마스크는 photoresist(AZ 5214-EIR) 패턴으로 만들어졌으며, 습식식각은 30분 동안 잘 희석된 H₃PO₄:H₂O₂:H₂O(19%:6%:75%) 용액 속에서 이루어졌다. 이 식각용액은 식각면의 거칠기가 아주 작기 때문에 본 연구실에서 저손실 도파로를 제작하는데 사용되어 왔다.^[7] 전극을 만들기 전에 식각된 도파로 구조 위에 polyimide(G-7640E)가 스핀 코팅에 의해 두껍게 도포되었다. Polyimide는 식각된 도파로 구조 위에 전극을 만들 때 평탄화(planarization)와 전극에 의한 parasitic capacitance를 줄이기 위해서 사용되었다. Polyimide는 온도가 400°C까지 조절되는 오븐을 이용하여 질소 분위기로 4단계의 온도에서 경화된 후, 도파로의 전극 층만이 노출 되도록 O₂ plasma asher 장비를 이용하여 산소 플라즈마로 식각되었다. Ohmic contact을 만들기 위해 p⁺-GaAs와 n⁺-GaAs 위에 각각 300Å Ti/150Å Pt/3000Å

Layer	Thickness (mm)	Doping level (/cm ³)	Dopant	Refractive index
p ⁺ -GaAs	0.2	1×10 ¹⁹	C	3.372
p ⁺ -Al _{0.35} Ga _{0.65} As	0.6	5×10 ¹⁷	C	3.244
i-Al _{0.35} Ga _{0.65} As	0.4	-	none	3.244
i-GaAs	0.4	-	none	3.372
i-Al _{0.35} Ga _{0.65} As	0.4	-	none	3.244
n ⁺ -Al _{0.35} Ga _{0.65} As	2	5×10 ¹⁷	Si	3.244
n ⁺ -GaAs	0.1	1×10 ¹⁸	Si	3.372
n ⁺ -GaAs wafer 2° off	350	1~2×10 ¹⁸	Si	3.372

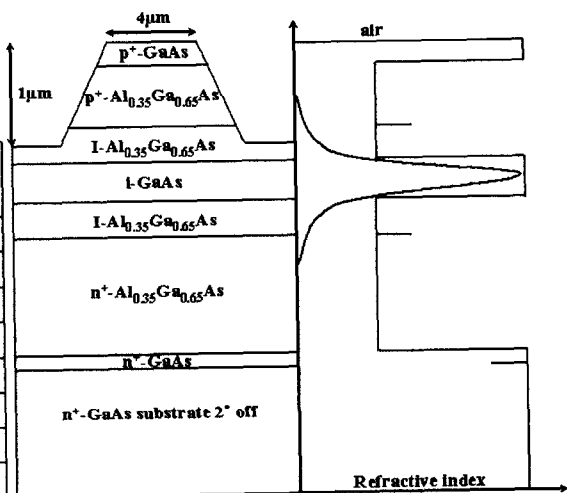


그림 3. P-I-I-N GaAs/Al_{0.35}Ga_{0.65}As 도파로 위상변조기의 에피박막의 특징들과 2차원 단면구조 및 굴절을 분포.

\AA Au와 300\AA Ti/ 2000\AA Au가 electron-beam 증착기로 증착된 후, RTA(rapid thermal annealing) 장비를 이용하여 410°C 에서 30초 동안 열처리되었다. 위상변조기의 양쪽 끝을 절단할 때 거울 면을 쉽게 얻기 위해서 p-type 전극을 증착한 다음, n-type 기판의 아래쪽은 C2000 sand paper와 연마장비를 이용하여 약 $120\text{ }\mu\text{m}$ 두께로 lapping 된 후, 폴리싱 용액으로 연마되었다. 그 후 n-type 전극을 증착했다. 마지막으로 위상변조기의 길이는 3.1 mm 길이로 cleaving 되고 금도금된 마운트 위에 silver paste로 고정되었다.

2.2. 위상변조 효율 측정

제작된 위상변조기의 위상변조 효율은 광 도파로와 그것의 양쪽 끝 단면들이 Fabry-Perot(FP) 공명기를 형성하므로 FP 공명 방법을 이용하여 측정되었다.^[8] FP 공명기의 간섭무늬들은 역 바이어스 전압을 인가하여 굴절률을 변화에 의한 광의 경로를 바꿈으로써 변하게 된다. 그림 4는 위상변조 효율을 측정하기 위한 FP 공명 방법의 측정 장치도를 보여준다. Tunable LD로부터 나온 $1.55\text{ }\mu\text{m}$ 파장의 입사광은 편광을 조

절하는 polarization controller를 경유하여 lensed-fiber를 통해 서 위상변조기의 절단된 입사면에 coupling 된다. 도파로의 출력광은 $\times 10$ 배의 대물렌즈로 확대되어 적외선 카메라에 연결된 IR-TV 모니터를 통하여 표시된다. 제작된 도파로 위상변조기가 단일모드만을 전파시키는지를 조사하기 위해 near-field pattern을 측정하였다. 다중모드가 여기된 도파로는 입력광의 위치를 바꾸면 출력된 near-field pattern이 이동하므로 쉽게 확인된다. 그림 5는 제작된 위상변조기의 도파로 모양 및 near-field pattern을 보여주고 단일모드만이 도파되는 것을 알 수 있다. 위상변조는 function generator를 이용하여 위상변조기에 역 바이어스 전압을 인가하면서 변조된 출력광을 광 검출기에 연결된 오실로스코프로 측정하였다. 0 V부터 -8 V 까지 변하는 톱니파형 전압이 저주파수로 위상변조기에 인가되었다. 투과광의 세기가 임의의 최대점(최소점)에서 인접한 최대점(최소점)까지 변할 때의 전압차가, π 만큼의 위상변화를 일으키는데 필요한 전압인, $V\pi$ 이다. 그림 6은 인가된 톱니파형 전압과 변조된 FP 간섭 무늬를 보여주고 있다. 따라서, $V\pi$ 와 도파로 위상변조기 길이를 알면 1 mm 도파로에 1 V의 전압

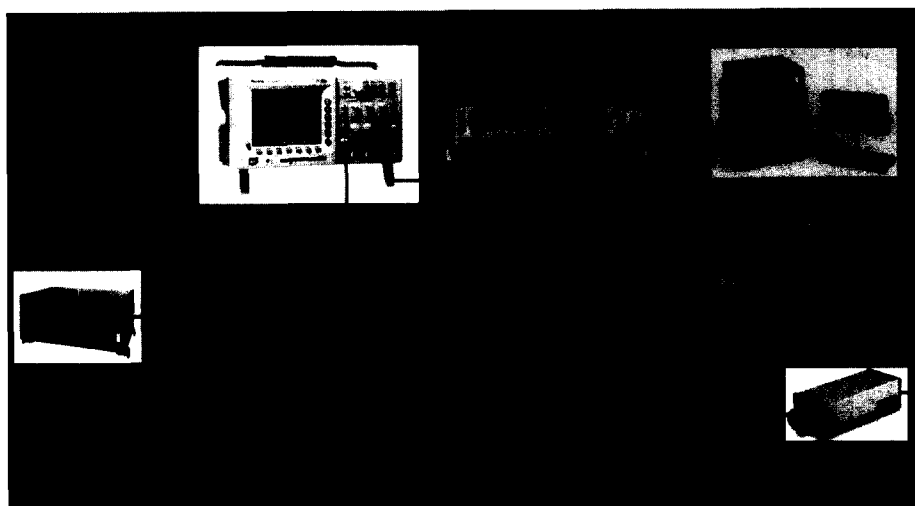


그림 4. 위상변조 효율을 측정하기 위한 Fabry-Perot 공명 실험 장치도.

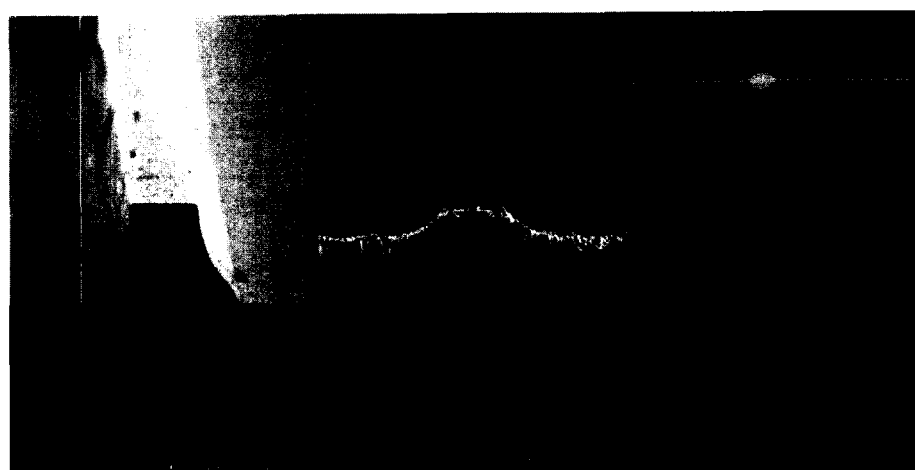


그림 5. 제작된 위상변조기의 SEM 사진과 $1.55\text{ }\mu\text{m}$ 파장에서 측정된 near-field pattern.

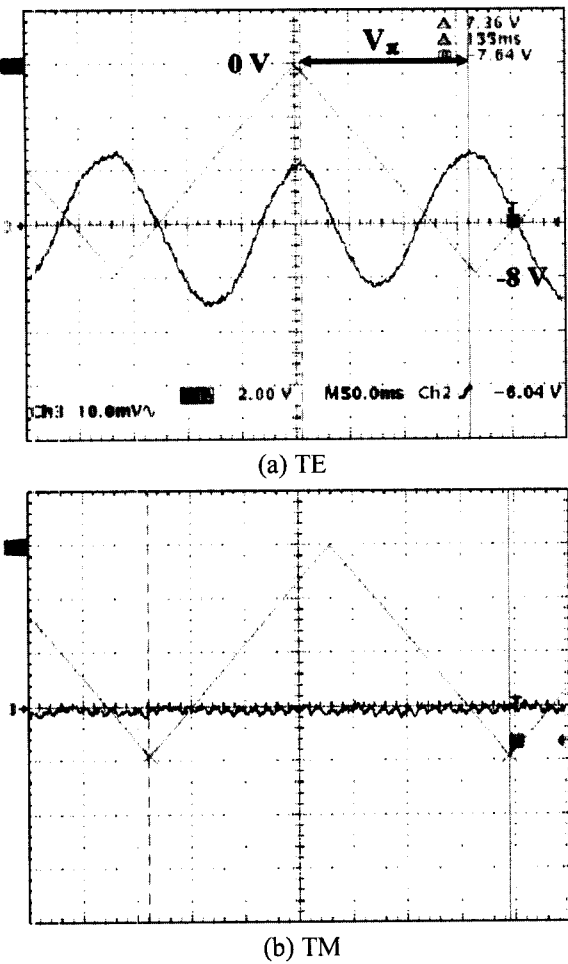


그림 6. 위상변조기에서 역 바이어스 전압으로 변조된 출력광의 오실로스코프 사진. (a) TE-편광된 빛, (b) TM-편광된 빛.

이 때의 때의 위상변화로 정의되는 위상변조 효율 $\Delta\phi(\text{°}/\text{V} \cdot \text{mm})$ 이 얻어진다. 그림 6(a)는 TE-편광된 빛에 대해서 역 바이어스 전압의 함수로 FP 공명에 의한 투과광 세기의 변화를 보여준다. 측정된 변조기는 그 길이가 3.1 mm이고 $V\pi = 7.36\text{ V}$ 이므로, 위상변조 효율은 $\Delta\phi = 7.9^\circ/\text{V} \cdot \text{mm}$ 이다. 이 효율은 비슷한 구조를 갖는 변조기의 위상변조 효율($2.9^\circ/\text{V} \cdot \text{mm}$)보다 거의 2.5배정도 향상된 결과이다.^[9] 변조된 출력광은 역 바이어스 전압에 따라 진폭변조가 거의 일어나지 않음을 볼 수 있다. 이것은 전압에 의존하는 광 손실이 작음을 의미한다.^[9] 또한 TM-편광된 빛에 대해서는 위상변조가 일어나지 않아야 하는데, 그림 6(b)의 측정된 결과는 투과광 세기의 변화가 없으므로, 위상변조 되지 않았음을 잘 보여준다.

III. 결론

TE 모드만 선택적으로 위상변조가 가능한 이종접합 P-I-I-N GaAs/Al_{0.35}Ga_{0.65}As 도파로 위상변조기가 3-D BPM_CAD를 이용하여 최적의 단일모드 조건이 계산되어졌고, MOCVD 성장기법과 습식식각 방법으로 제작되었으며, 그 위상변조 효율이 1.55 μm 파장에서 TE와 TM 모드에 대해 각각 측정

되었다. Near-field pattern 측정으로부터 단일모드만 여기되는 것이 확인되었으며, 이것은 3-D BPM_CAD를 이용하여 계산된 결과로부터 예측된 것과 같다. 위상변조 효율은 역 바이어스 전압을 인가하면서 FP 공명 방법으로 측정되었으며, 그 결과 TE-편광된 빛에 대해서 $\Delta\phi = 7.9^\circ/\text{V} \cdot \text{mm}$ 의 위상변조 효율이 얻어졌다. 이 효율은 비슷한 구조를 갖는 변조기의 위상변조 효율($2.9^\circ/\text{V} \cdot \text{mm}$)보다 거의 2.5배정도 향상된 결과이다. 또한 TM-편광된 빛에 대해서는 위상변조가 일어나지 않았다. 따라서, 본 연구에서 보고된 P-I-I-N GaAs/Al_{0.35}Ga_{0.65}As 도파로 위상변조기는 그림 1에 보여진 MZI TE-TM 모드 분리기에 효율적으로 이용할 것이다.

감사의 글

본 연구는 1998년도 한국학술진흥재단 대학부설연구소과제 연구비에 의하여 연구되었음.

참고문헌

- [1] S. S. Lee, R. V. Ramaswamy, and S. Sundaram, "Analysis and design of high-speed high-efficiency GaAs-AlGaAs double-heterostructure waveguide phase modulator," *IEEE J. Quantum Electron.*, vol. Qe-27, pp. 726-736, 1991.
- [2] L. A. coldren, J. G. Mendoza-Alvarez, and R. H. Yan, "Design of optimized high-speed depletion-edge-translation optical waveguide modulators in III-V semiconductors," *Appl. Phys. Lett.*, vol. 51, pp. 792-794, 1987.
- [3] J. Faist and F. K. Reinhart, "Comparison of phase modulation of GaAs/AlGaAs double heterostructure," *Electron. Lett.*, vol. 23, pp. 1391-1392, 1987.
- [4] P. Wei and W. Wang, "A TE/TM mode splitter on Lithium Niobate using Ti, Ni, and MgO diffusions," *IEEE Photon. Technol. Lett.*, vol. 6, pp. 245-248, 1994.
- [5] K. Okamoto, M. Doi, T. Irita, Y. Nakano, and K. Tada, "Fabrication of TE/TM mode splitter using completely buried GaAs/GaAlAs waveguide," *Jpn. J. Appl. Phys.*, vol. 34, pp. 151-155, 1995.
- [6] J. G. Mendoza-Alvarez, L. A. Coldren, A. Alping, R. H. Yan, T. Hausken, K. Lee, and K. Pedrotti, "Analysis of depletion edge translation lightwave modulators," *IEEE J. Lightwave Technol.*, vol. 6, no. 6, pp. 793-808, 1988.
- [7] Y. T. Byun, K. H. Park, S. H. Kim, S. S. Choi, and T. K. Lim, "Comparison of propagation losses of single-mode GaAs/AlGaAs waveguides in a three- and a five-layer structure loss," *Jpn. J. Appl. Phys.*, Vol. 34, No. 8B, pp. L1051-L1054, 1995.
- [8] Y. T. Byun, K. H. Park, S. H. Kim, S. S. Choi, J. C. Yi, and T. K. Lim, "Efficient single-mode GaAs/AlGaAs W waveguide phase modulator with a low propagation loss," *Applied Optics*, vol. 37, no. 3, pp. 99-104, 1998.
- [9] R. J. Deri, E. Kapon, J. P. Harbison, M. Seto, C. P. Yun, and L. T. Florez, "Low-loss GaAs/AlGaAs waveguide phase modulator using a W-shaped index profile," *Appl. Phys. Lett.*, vol. 53, no. 19, pp. 1803-1805, 1988.

**Fabrication and Modulation Characteristic of TE-selective P-I-i-I-N
GaAs/Al_{0.35}Ga_{0.65}As waveguide phase modulator**

Sun-Pil Kim[†] and Sang-Sun Lee

*Photonics Research Laboratory, Division of Electrical and Computer Engineering,
Hanyang University 17 Hangdang-Dong Sungdong-Ku Seoul 133-791, KOREA*

[†]E-mail: toughksp@kist.re.kr

Seok Lee, Deok-Ha Woo and Sun-Ho Kim

Photonics Research Center, KIST, P.O.Box 131, Cheongryang, Seoul 130-650, KOREA

(Received December 23, 2002, Revised manuscript March 11, 2003)

We fabricated a P-I-i-I-N GaAs/Al_{0.35}Ga_{0.65}As waveguide phase modulator with significant phase shift for the TE mode but negligible for the TM mode. We selected the P-I-i-I-N structure to cause a phase shift about the TE mode. The wavelength of $\lambda = 1.55 \mu\text{m}$ was measured for both the TE- and TM modes, respectively. As a result, the measured phase shift efficiency ($\Delta\phi$) by using the Fabry-Perot resonance method was $7.9^\circ/\text{V}\cdot\text{mm}$ for TE-polarized light. Also, no modulation was observed for TM-polarized light.

OCIS Code : 250.736.